

# Starkniederschlagshöhen und -spenden gemäß KOSTRA-DWD-2020

## Rasterfeld 127194

(Zeile 127, Spalte 194)

### Regenspende und Bemessungsniederschlagswerte in Abhängigkeit von Wiederkehrzeit T und Dauerstufe D

| Dauerstufe D |     | Wiederkehrzeit T |            |      |            |      |            |      |            |      |            |       |            |       |            |       |            |       |            |
|--------------|-----|------------------|------------|------|------------|------|------------|------|------------|------|------------|-------|------------|-------|------------|-------|------------|-------|------------|
|              |     | 1 a              |            | 2 a  |            | 3 a  |            | 5 a  |            | 10 a |            | 20 a  |            | 30 a  |            | 50 a  |            | 100 a |            |
| min          | Std | mm               | l / (s ha) | mm   | l / (s ha) | mm   | l / (s ha) | mm   | l / (s ha) | mm   | l / (s ha) | mm    | l / (s ha) | mm    | l / (s ha) | mm    | l / (s ha) | mm    | l / (s ha) |
| 5            |     | 7,4              | 246,7      | 9,4  | 313,3      | 10,6 | 353,3      | 12,2 | 406,7      | 14,5 | 483,3      | 16,9  | 563,3      | 18,5  | 616,7      | 20,5  | 683,3      | 23,5  | 783,3      |
| 10           |     | 9,6              | 160,0      | 12,2 | 203,3      | 13,8 | 230,0      | 15,9 | 265,0      | 18,9 | 315,0      | 22,0  | 366,7      | 24,1  | 401,7      | 26,7  | 445,0      | 30,6  | 510,0      |
| 15           |     | 10,9             | 121,1      | 13,9 | 154,4      | 15,7 | 174,4      | 18,1 | 201,1      | 21,5 | 238,9      | 25,1  | 278,9      | 27,4  | 304,4      | 30,4  | 337,8      | 34,8  | 386,7      |
| 20           |     | 11,9             | 99,2       | 15,1 | 125,8      | 17,1 | 142,5      | 19,7 | 164,2      | 23,4 | 195,0      | 27,2  | 226,7      | 29,8  | 248,3      | 33,1  | 275,8      | 37,8  | 315,0      |
| 30           |     | 13,3             | 73,9       | 16,8 | 93,3       | 19,0 | 105,6      | 21,9 | 121,7      | 26,1 | 145,0      | 30,4  | 168,9      | 33,2  | 184,4      | 36,9  | 205,0      | 42,1  | 233,9      |
| 45           |     | 14,7             | 54,4       | 18,6 | 68,9       | 21,0 | 77,8       | 24,2 | 89,6       | 28,8 | 106,7      | 33,6  | 124,4      | 36,7  | 135,9      | 40,8  | 151,1      | 46,6  | 172,6      |
| 60           | 1   | 15,7             | 43,6       | 19,9 | 55,3       | 22,5 | 62,5       | 26,0 | 72,2       | 30,9 | 85,8       | 36,0  | 100,0      | 39,3  | 109,2      | 43,7  | 121,4      | 49,9  | 138,6      |
| 90           | 1,5 | 17,3             | 32,0       | 21,9 | 40,6       | 24,7 | 45,7       | 28,5 | 52,8       | 33,9 | 62,8       | 39,5  | 73,1       | 43,2  | 80,0       | 48,0  | 88,9       | 54,8  | 101,5      |
| 120          | 2   | 18,4             | 25,6       | 23,3 | 32,4       | 26,4 | 36,7       | 30,4 | 42,2       | 36,2 | 50,3       | 42,1  | 58,5       | 46,0  | 63,9       | 51,2  | 71,1       | 58,5  | 81,3       |
| 180          | 3   | 20,1             | 18,6       | 25,5 | 23,6       | 28,9 | 26,8       | 33,2 | 30,7       | 39,6 | 36,7       | 46,1  | 42,7       | 50,3  | 46,6       | 55,9  | 51,8       | 63,9  | 59,2       |
| 240          | 4   | 21,4             | 14,9       | 27,2 | 18,9       | 30,7 | 21,3       | 35,4 | 24,6       | 42,1 | 29,2       | 49,1  | 34,1       | 53,6  | 37,2       | 59,5  | 41,3       | 68,1  | 47,3       |
| 360          | 6   | 23,4             | 10,8       | 29,6 | 13,7       | 33,5 | 15,5       | 38,6 | 17,9       | 46,0 | 21,3       | 53,5  | 24,8       | 58,5  | 27,1       | 65,0  | 30,1       | 74,3  | 34,4       |
| 540          | 9   | 25,5             | 7,9        | 32,3 | 10,0       | 36,6 | 11,3       | 42,1 | 13,0       | 50,1 | 15,5       | 58,4  | 18,0       | 63,8  | 19,7       | 70,8  | 21,9       | 81,0  | 25,0       |
| 720          | 12  | 27,1             | 6,3        | 34,4 | 8,0        | 38,9 | 9,0        | 44,8 | 10,4       | 53,3 | 12,3       | 62,0  | 14,4       | 67,8  | 15,7       | 75,3  | 17,4       | 86,1  | 19,9       |
| 1080         | 18  | 29,5             | 4,6        | 37,4 | 5,8        | 42,3 | 6,5        | 48,8 | 7,5        | 58,1 | 9,0        | 67,6  | 10,4       | 73,9  | 11,4       | 82,1  | 12,7       | 93,8  | 14,5       |
| 1440         | 24  | 31,4             | 3,6        | 39,8 | 4,6        | 45,0 | 5,2        | 51,8 | 6,0        | 61,7 | 7,1        | 71,8  | 8,3        | 78,5  | 9,1        | 87,2  | 10,1       | 99,7  | 11,5       |
| 2880         | 48  | 36,3             | 2,1        | 46,1 | 2,7        | 52,1 | 3,0        | 60,0 | 3,5        | 71,4 | 4,1        | 83,2  | 4,8        | 90,9  | 5,3        | 100,9 | 5,8        | 115,4 | 6,7        |
| 4320         | 72  | 39,6             | 1,5        | 50,2 | 1,9        | 56,7 | 2,2        | 65,3 | 2,5        | 77,8 | 3,0        | 90,6  | 3,5        | 98,9  | 3,8        | 109,9 | 4,2        | 125,7 | 4,8        |
| 5760         | 96  | 42,0             | 1,2        | 53,3 | 1,5        | 60,3 | 1,7        | 69,4 | 2,0        | 82,6 | 2,4        | 96,2  | 2,8        | 105,1 | 3,0        | 116,8 | 3,4        | 133,5 | 3,9        |
| 7200         | 120 | 44,1             | 1,0        | 55,9 | 1,3        | 63,2 | 1,5        | 72,8 | 1,7        | 86,6 | 2,0        | 100,8 | 2,3        | 110,2 | 2,6        | 122,4 | 2,8        | 139,9 | 3,2        |
| 8640         | 144 | 45,8             | 0,9        | 58,0 | 1,1        | 65,6 | 1,3        | 75,6 | 1,5        | 90,0 | 1,7        | 104,8 | 2,0        | 114,5 | 2,2        | 127,2 | 2,5        | 145,4 | 2,8        |
| 10080        | 168 | 47,3             | 0,8        | 59,9 | 1,0        | 67,8 | 1,1        | 78,1 | 1,3        | 92,9 | 1,5        | 108,2 | 1,8        | 118,3 | 2,0        | 131,4 | 2,2        | 150,2 | 2,5        |

# Starkniederschlagshöhen und -spenden gemäß KOSTRA-DWD-2020

## Rasterfeld 127194

(Zeile 127, Spalte 194)

### Örtliche Unsicherheiten in Abhängigkeit von Wiederkehrzeit T und Dauerstufe D

| Dauerstufe D |     | Wiederkehrzeit T |     |     |     |      |      |      |      |       |
|--------------|-----|------------------|-----|-----|-----|------|------|------|------|-------|
|              |     | 1 a              | 2 a | 3 a | 5 a | 10 a | 20 a | 30 a | 50 a | 100 a |
| min          | Std | ± %              | ± % | ± % | ± % | ± %  | ± %  | ± %  | ± %  | ± %   |
| 5            |     | 12               | 12  | 12  | 12  | 13   | 13   | 14   | 14   | 14    |
| 10           |     | 12               | 14  | 15  | 16  | 17   | 18   | 19   | 19   | 20    |
| 15           |     | 14               | 17  | 18  | 19  | 20   | 21   | 21   | 22   | 23    |
| 20           |     | 16               | 18  | 19  | 20  | 22   | 22   | 23   | 24   | 24    |
| 30           |     | 17               | 20  | 21  | 22  | 23   | 24   | 25   | 25   | 26    |
| 45           |     | 18               | 21  | 22  | 23  | 24   | 25   | 26   | 26   | 27    |
| 60           | 1   | 18               | 21  | 22  | 23  | 24   | 25   | 26   | 26   | 27    |
| 90           | 1,5 | 18               | 21  | 22  | 23  | 24   | 25   | 26   | 26   | 27    |
| 120          | 2   | 18               | 20  | 21  | 23  | 24   | 25   | 26   | 26   | 27    |
| 180          | 3   | 17               | 20  | 21  | 22  | 23   | 24   | 25   | 25   | 26    |
| 240          | 4   | 17               | 19  | 20  | 21  | 23   | 24   | 24   | 25   | 26    |
| 360          | 6   | 16               | 18  | 19  | 21  | 22   | 23   | 23   | 24   | 25    |
| 540          | 9   | 15               | 18  | 19  | 20  | 21   | 22   | 23   | 23   | 24    |
| 720          | 12  | 15               | 17  | 18  | 19  | 20   | 21   | 22   | 22   | 23    |
| 1080         | 18  | 15               | 17  | 18  | 19  | 20   | 21   | 21   | 22   | 22    |
| 1440         | 24  | 15               | 16  | 17  | 18  | 19   | 20   | 21   | 21   | 22    |
| 2880         | 48  | 15               | 16  | 17  | 18  | 19   | 20   | 20   | 20   | 21    |
| 4320         | 72  | 16               | 17  | 17  | 18  | 19   | 19   | 20   | 20   | 21    |
| 5760         | 96  | 16               | 17  | 18  | 18  | 19   | 19   | 20   | 20   | 21    |
| 7200         | 120 | 17               | 18  | 18  | 18  | 19   | 20   | 20   | 20   | 21    |
| 8640         | 144 | 17               | 18  | 18  | 19  | 19   | 20   | 20   | 20   | 21    |
| 10080        | 168 | 18               | 18  | 19  | 19  | 20   | 20   | 20   | 21   | 21    |

### Parameter für abweichende T und D

#### Lokationsparameter $\xi$ (Xi)

16,12913947

#### Skalenparameter $\alpha$ (Alpha)

6,00297355

#### Formparameter $\kappa$ (Kappa)

-0,1

#### 1. Koutsoyiannis-Parameter $\theta$ (Theta)

0,03206293

#### 2. Koutsoyiannis-Parameter $\eta$ (Eta)

0,78991368

Parameter für dauerstufenübergreifende Extremwertschätzung nach KOUTSOYIANNIS et al. 1998.

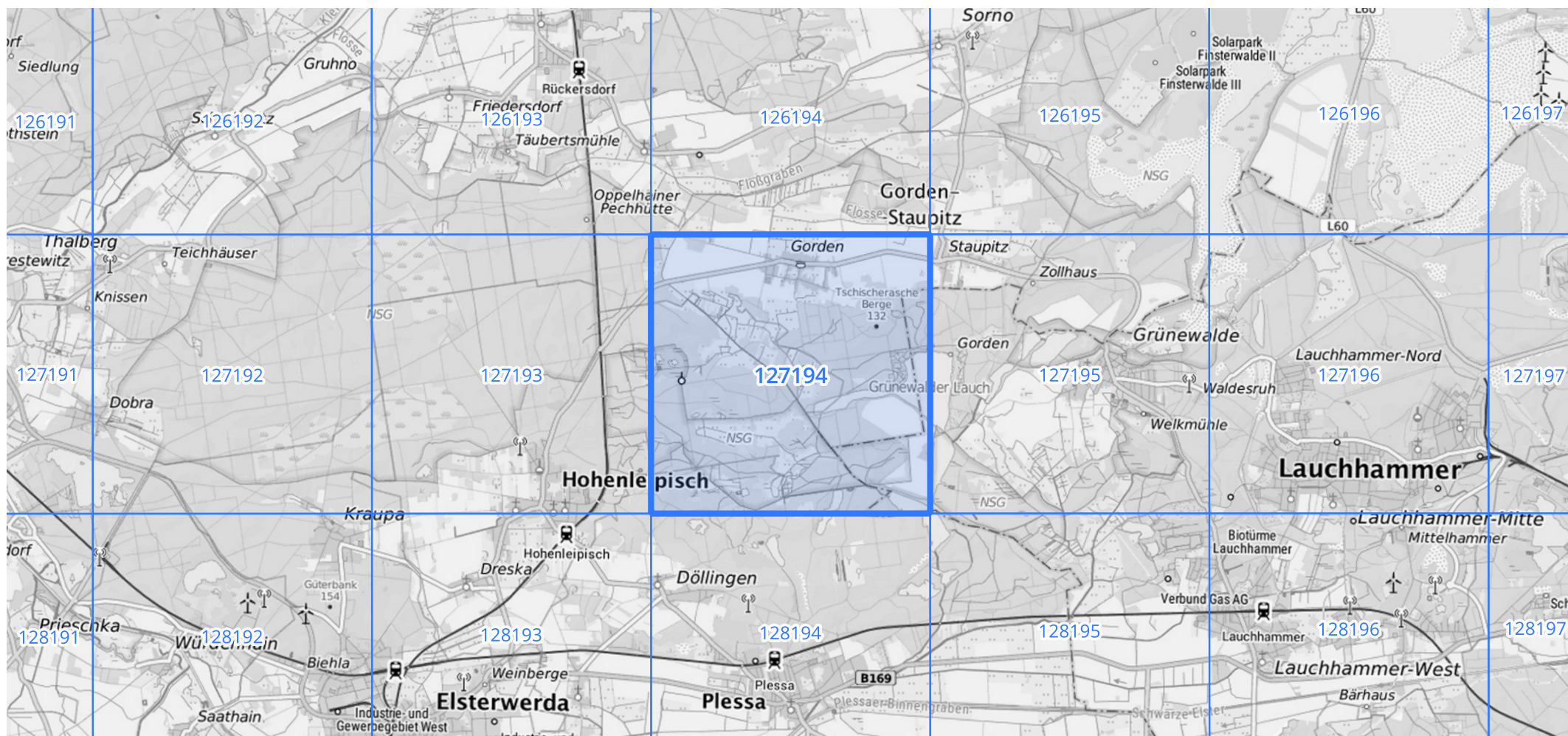
Siehe auch Anwendungshilfe zu KOSTRA-DWD-2020 des Deutschen Wetterdienstes.

# Starkniederschlagshöhen und -spenden gemäß KOSTRA-DWD-2020

## Rasterfeld 127194

(Zeile 127, Spalte 194)

### Übersichtskarte des Rasterfeldes 127194, M 1 : 100 000



Quelle Rasterdaten: KOSTRA-DWD-2020 des Deutschen Wetterdienstes, Stand 12/2022.

Seite 3 von 3

Kartendarstellung: © Bundesamt für Kartographie und Geodäsie (2023), Datenquellen: [https://sgx.geodatenzentrum.de/web\\_public/gdz/datenquellen/Datenquellen\\_TopPlusOpen.html](https://sgx.geodatenzentrum.de/web_public/gdz/datenquellen/Datenquellen_TopPlusOpen.html)

Für die Richtigkeit und Aktualität der Angaben wird keine Gewähr übernommen. Erstellt 01/2023.